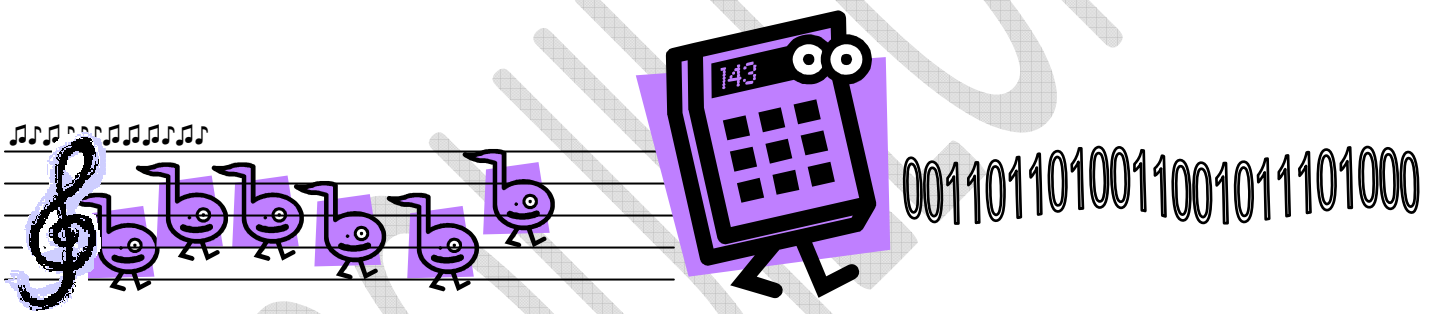


Le traitement de signal numérique sur μ -contrôleur

(Ébauche)



V1.0

Christian Dupaty

Lycée Fourcade

13120 Gardanne

christian.dupaty@ac-aix-marseille.fr



SOMMAIRE

1.	Le traitement de signal numérique	3
1.1.	Les séries de Fourier	4
1.2.	Echantillonnage	Erreur ! Signet non défini.
1.3.	Représentation mathématique d'un signal échantillonné	6
1.4.	Caractéristiques d'un filtre	7
1.5.	Les filtres numériques à réponse impulsionnelle finie (FIR).....	8
1.6.	Les filtres numériques à réponse impulsionnelle infinie (IIR)	10
1.7.	FIR vs IIR	11
1.8.	Synthèse des filtres numériques.....	12
1.8.1.	Filtre FIR	12
1.8.2.	Filtre IIR.....	13
1.8.3.	Correcteur PID numérique	14
1.9.	Transformée de Fourier discrète (DFT).....	15
1.10.	Détection de fréquence, algorithme de Goetzel	18
2.1.	Numérisation et représentations binaires	19
2.2.	Mise en œuvre des filtres FIR et IIR.....	22
2.3.	Mise en oeuvre de la FFT	24
2.4.	Détection de fréquence : exemple sur PIC18.....	28

Documentation :

FFT :

<http://www.eisi.ch/dem/Mediatheque/Telecom%20et%20traitement%20du%20signal/Cours/FFT.pdf>

Synthèse : <http://systolix.co.uk>

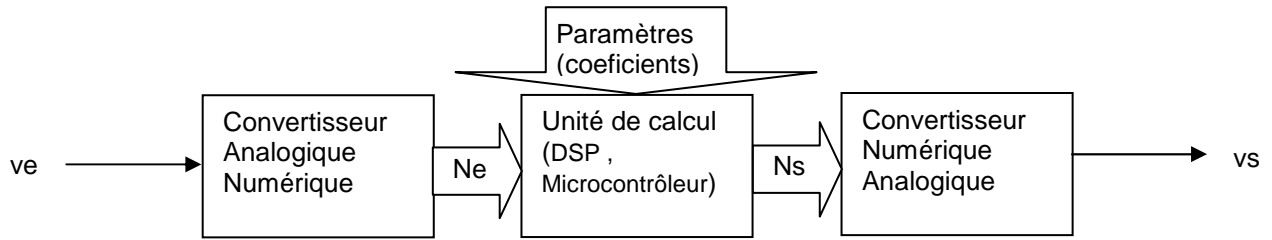
Mise en œuvre : <http://www.microchip.com>

Applications sur les filtres FIR et IIR : Microchip AN852



1. Le traitement de signal numérique

Structure d'un système de traitement du signal numérique



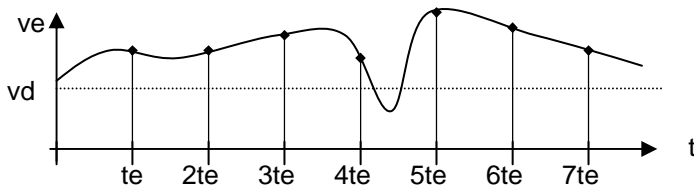
N_e représente une valeur numérique de v_e à un instant t .

N_s représente une valeur numérique de v_e à un instant $t+t_c$ (temps de calcul)

La fonction de transfert N_s/N_e est une fonction mathématique (généralement une convolution)

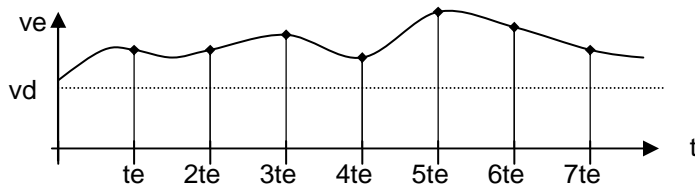
Le problème de l'échantillonnage

Le signal v_e est mesuré (échantillonné) avec une période t_e

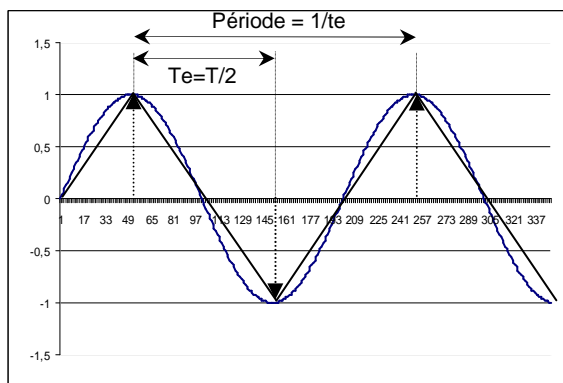


Il n'est donc connu qu'aux instants nte .

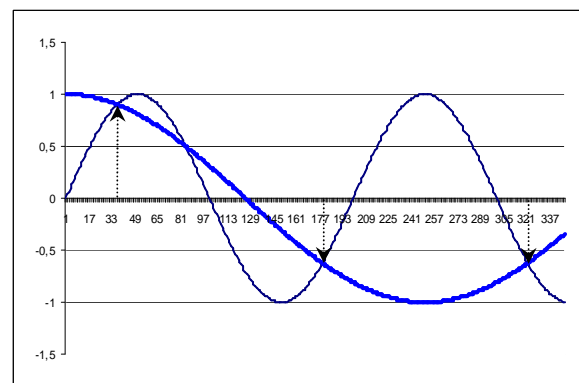
On voit ci dessus que le passage de v_e sous v_d n'est jamais détecté, tout se passe comme si l'on avait un signal v_e comme ceci :



Il y a eu perte d'information le signal ci-dessus comporte moins d'harmoniques que le signal réel.



Ici le cas est limite $T_e=T/2$, on peut trouver la fréquence de la sinusoïde par interpolation linéaire



Ici $T_e>T/2$, il y confusion entre plusieurs fréquences possibles

Le critère de Nyquist établit que l'échantillonnage ne doit pas être inférieur au double de la plus grande fréquence mesurée



1.1. Les séries de Fourier

Joseph Fourier a démontré que tout signal périodique pouvait se décomposer en une de signaux sinusoïdaux. La première fréquence représente le fondamental (la fréquence propre du signal) et les autres représentent les harmoniques. Ce sont eux par exemple qui donnent le timbre à une note de musique.

Exemple reconstitution d'un signal carrée :

La décomposition d'un signal carrée en série de Fourier donne une somme de sinusoïdes multiples du fondamental et de rangs impaires

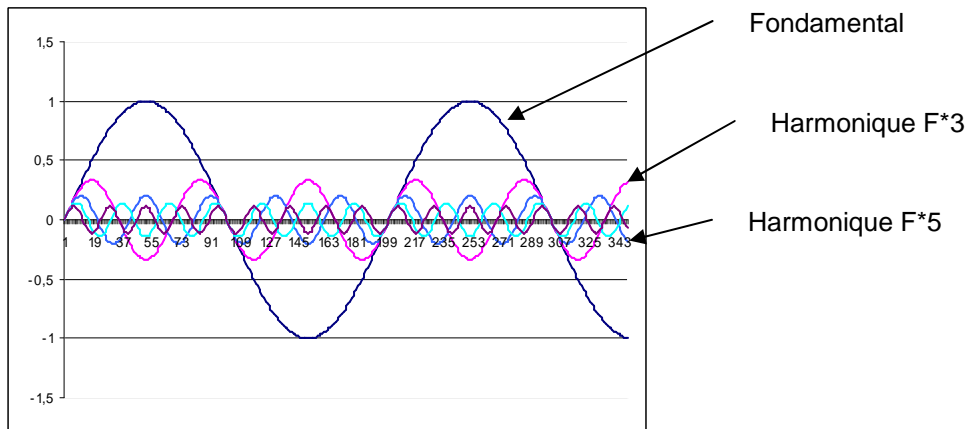
Sa décomposition en série de Fourier s'écrit

$$u(t) = \frac{4E}{\pi} \left[\sin \omega t + \frac{\sin 3\omega t}{3} + \frac{\sin 5\omega t}{5} + \frac{\sin(2p+1)\omega t}{2p+1} + \dots \right]$$

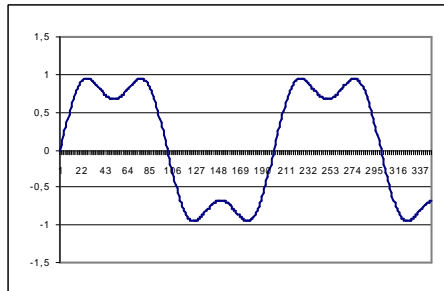
(E représente l'amplitude du fondamental et ω sa pulsation)

Reconstitution d'un signal carrée

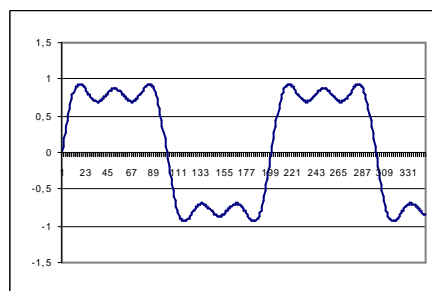
Fondamental et 7 harmoniques de rangs impaires d'un signal carrée



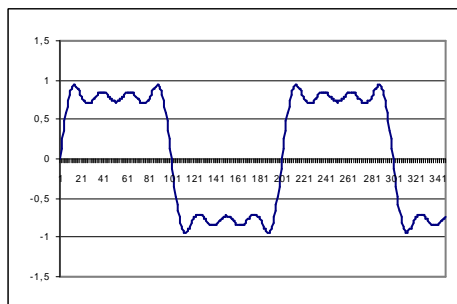
Fondamental + Harmonique 1



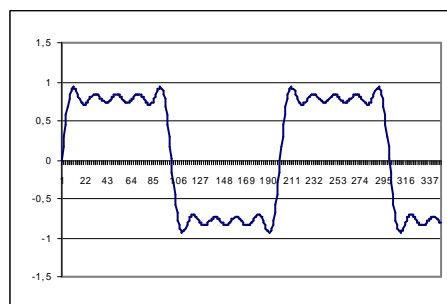
Fondamental + Harmoniques 1 et 3



Fondamental + Harmoniques 1,3 et 5



Fondamental + Harmoniques 1,3,5 et 7



On voit que plus le nombre d'harmoniques augmentent et plus l'on se rapproche d'un signal carrée. Remarque : Un signal carré possède une infinité d'harmoniques dont l'amplitude tend vers 0.

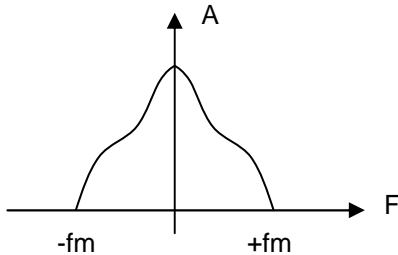


(Un signal carrée n'existera jamais, on aura toujours affaire à une approximation représentée par les temps de montée et de descente du signal)

1.2. Echantillonnage

Si l'on respecte le critère de Nyquist $f_e > F_{\max}/2$ on voit qu'il ne sera pas possible de traiter numériquement un signal carrée. Dans la réalité un signal carrée n'existe pas, les fronts ont toujours un temps de montée non nul.

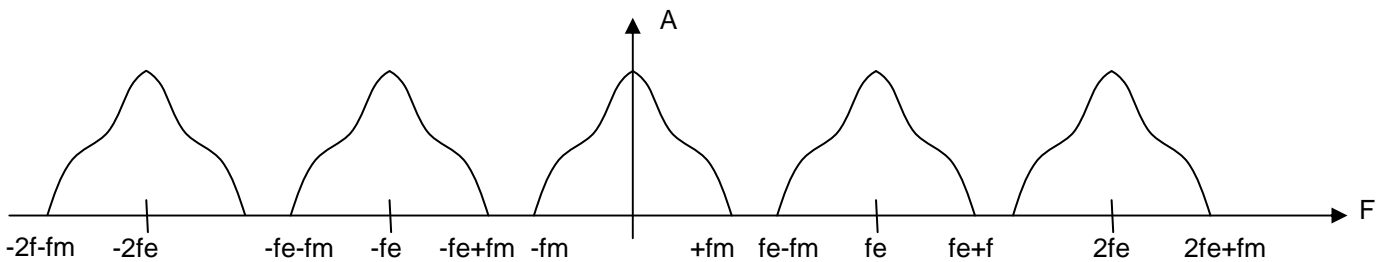
Le spectre d'un signal analogique est donc borné, il a généralement une forme de ce type



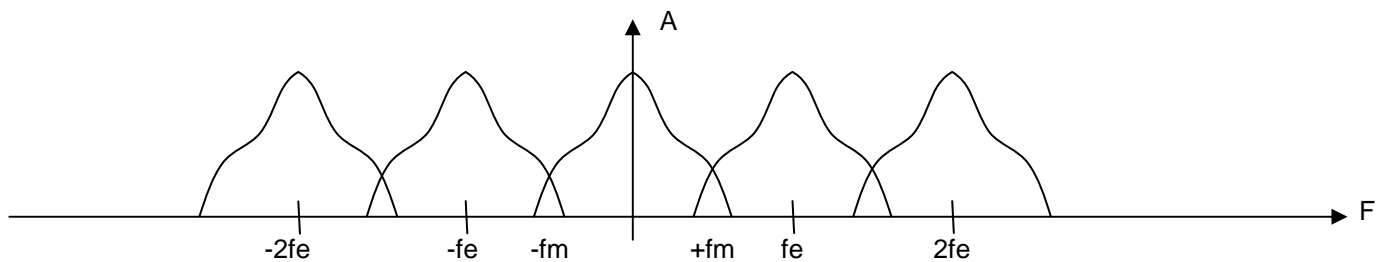
Remarque : les fréquences négatives ne représentent qu'un concept mathématique de des séries de fourrier

Théorème de Shannon

L'échantillonnage a pour effet de multiplier le signal avec une infinité de sinusöides multiples de f_e



Si $f_e < 2f_{\max}$ on a recouvrement de spectre (aliasing)



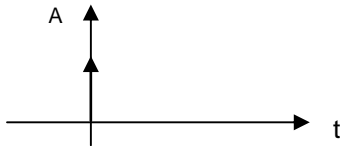
Le signal échantillonné n'est plus le signal d'origine

Le signal présent à l'entrée du CAN ne doit pas présenter de fréquences supérieurs à $f_e/2$. On place toujours un filtre passe bas (appelé filtre anti-aliasing) avant le CAN .

Plus la fréquence d'échantillonnage est grande :
 Plus la détermination des différentes composantes d'un signal est facile.
 Moins il a de contrainte sur les caractéristiques du filtre anti-repliement
 Moins il a de bruit du à l'échantillonnage.

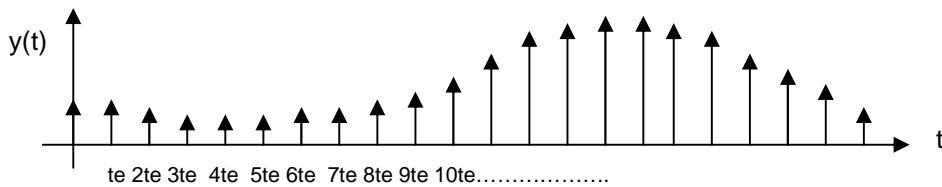
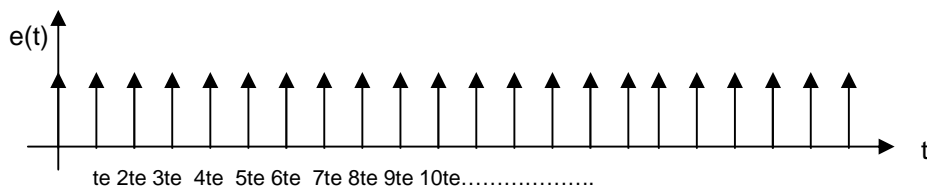
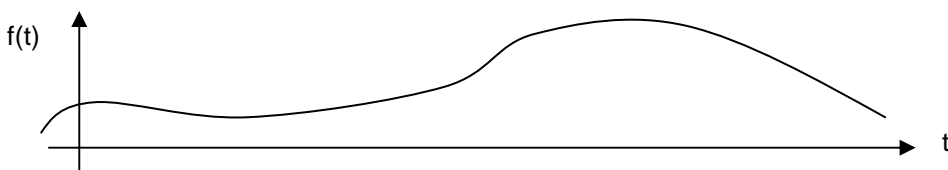


1.3. Représentation mathématique d'un signal échantillonné



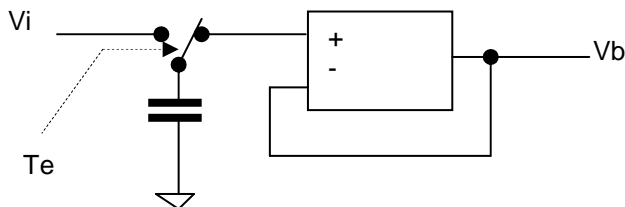
Une impulsion de Dirac est un concept mathématique, sa surface vaut $\int_{-\infty}^{\infty} \delta(t) dt = 1$

L'échantillonnage revient à multiplier le signal analogique par un peigne d'impulsions de Dirac

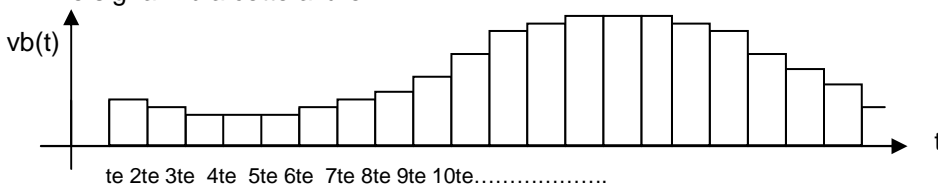


$$y(t) = \sum_{n=-\infty}^{n=\infty} f(t) \times \delta(t - nte)$$

En pratique les convertisseurs analogiques numériques ont toujours un temps de conversion non nul. Il est indispensable que le signal mesuré n'évolue pas pendant la conversion. On place avant le CAN un échantillonneur bloqueur



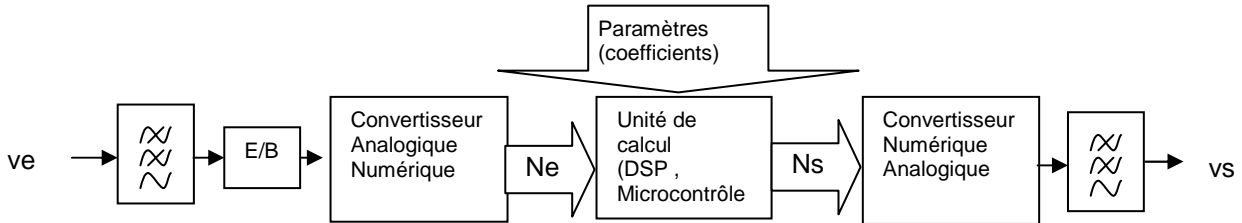
Le signal Vb a cette allure.





C'est un signal différent du signal à mesurer, il possède toutes les fréquences de celui ci plus des harmoniques héritées du peigne de Dirac.

La chaîne complète de traitement de signal est donc la suivante :

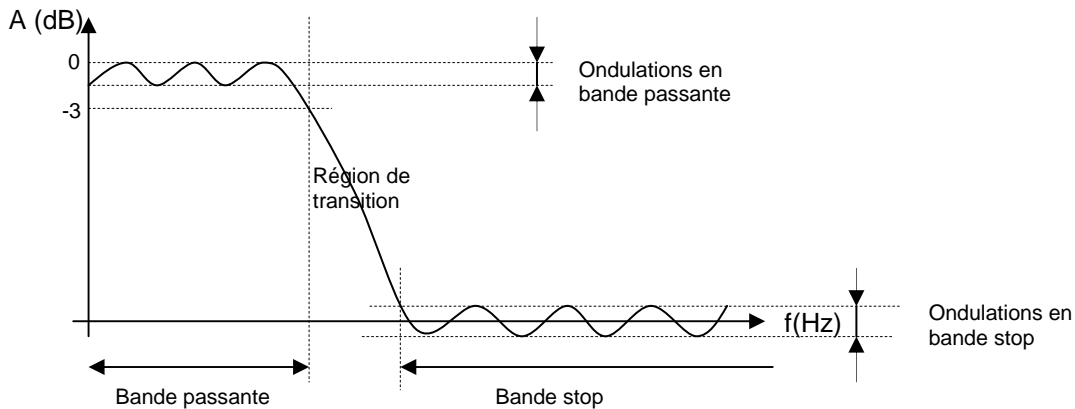


Après avoir saisi un échantillon, le calculateur définit la sortie N_s , le temps de calcul doit donc être inférieur à t_e . Les filtres numériques ne font appel qu'à des additions et à des multiplications, un microcontrôleur adapté au traitement de signal possédera une instruction MAC (multiplie and accumule) qui effectue une multiplication et additionne le résultat au résultat partiel.

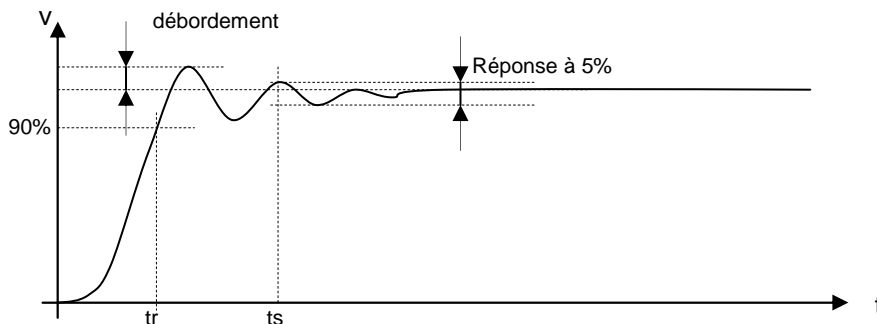
Les DSP (Digital Signal Processor) possèdent toujours une instruction de ce type câblée, son temps d'exécution ne dépasse pas quelques 10nS à 100nS.

1.4. Caractéristiques d'un filtre

Caractéristiques d'un filtre passe bas



Réponse à un échelon d'un filtre passe bas



Le filtre est caractérisé par :

Le temps de montée à 90% (t_r)

Le temps d'établissement à 5% (t_s)

L'amplitude du débordement

Les oscillations finales (fréquence et nombre)

La réponse à un échelon est utilisée pour déterminer les coefficients d'un filtre numérique à réponse impulsionnelle finie (FIR)

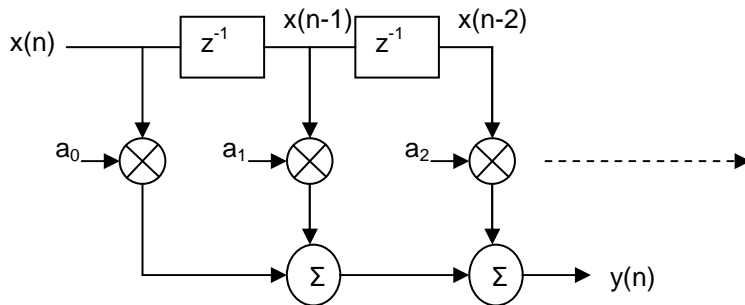


1.5. Les filtres numériques à réponse impulsionnelle finie (FIR)

Les FIR n'utilisent que les échantillons en entrée (les valeurs précédentes des sorties n'interviennent pas. Leur sortie est toujours de la forme :

$$y(n) = a_0x(n) + a_1x(n-1) + a_2x(n-2) + \dots + a_mx(n-m)$$

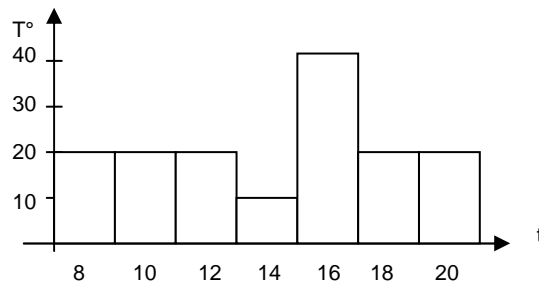
Ils sont souvent représentés comme ceci (z^{-1} représente un retard de T_e)



Un exemple de filtre FIR

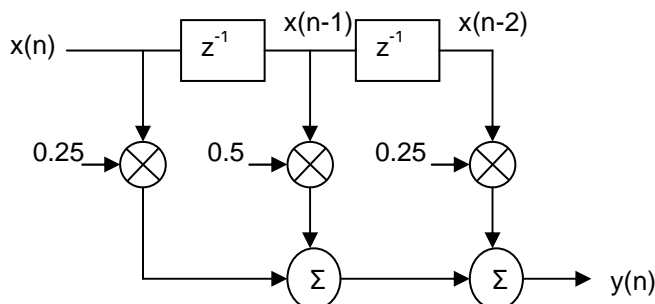
Le tableau ci dessous donne l'évolution de la température d'un local

HEURE	PERIODE	X(N)	T°
8h	0	x(0)	20
10h	1	x(1)	20
12h	2	x(2)	20
14h	3	x(3)	10
16h	4	x(4)	40
18h	5	x(5)	20
20h	6	x(6)	20



Appliquons ce « signal » au filtre précédent avec les coefficients

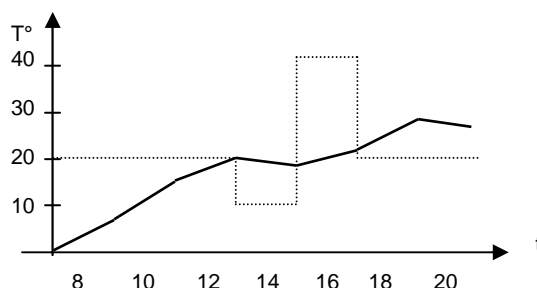
$$a_0=0.25, a_1=0.50, a_2=0.25$$



$$\text{La sortie } y(n) = 0.25x(n) + 0.5x(n-1) + 0.25x(n-2)$$

On obtient facilement

N	Y(N)
0	5
1	15
2	20
3	18
4	21
5	28
6	25





Le graphe ci dessus représente $y(n)$ après passage dans un convertisseur analogique numérique et un filtre passe bas.

On voit que le filtre numérique est un passe bas

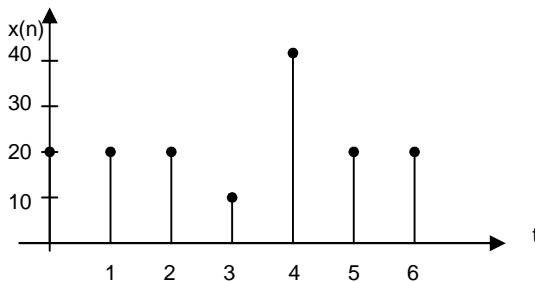
Définir les coefficients d'un filtre en fonction de sa réponse impulsionnelle

Le signal en entrée a été échantillonné, donc multiplié par un peigne de Dirac.

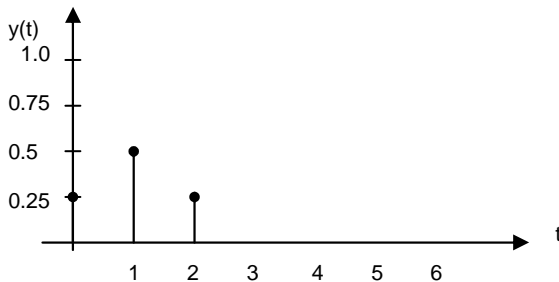
Chaque valeur mesurée peut être représenté son amplitude fois une impulsion de Dirac,

ex : à 8h on a

$$x(0) = \int_{-\infty}^{\infty} 20 \times \delta(t) dt = 20$$



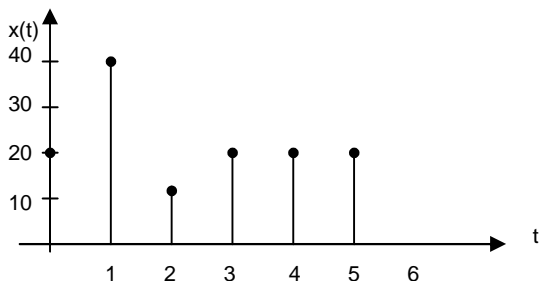
Il est facile de tracer de la même manière la réponse impulsionnelle du filtre. On la stimule avec une impulsion de Dirac à l'instant $t=0$.



On remarque que la réponse impulsionnelle donne exactement les valeurs des trois coefficients. Il s'agit là d'une méthode utilisée par les logiciels de calcul pour produire les coefficients

Il est facile de calculer la sortie du filtre à n'importe quel moment en multipliant la réponse impulsionnelle par le train d'impulsion en entrée au moment souhaité.

Par exemple regardons $x(t)$ à 18h ($n=5$) et représentons les échantillons précédents



La valeur présente (18h) est représentée à $t=0$ et les valeurs précédentes suivent. 8h se trouve à $t=5$ Par exemple, pour connaître $y(5)$, on multiplie la réponse impulsionnelle par le train d'impulsion en entrée

$$y(5) = 0.25 \times 20 + 0.5 \times 40 + 0.25 \times 12 + 0 \times 20 + 0 \times 20 + 0 \times 20 = 28$$



On remarque que nous avons multiplié la l'inverse de la séquence d'entrée par la réponse impulsionnelle.

Pour calculer la nouvelle valeur de $y(n)$, il suffit de décaler la séquence d'entrée et d'introduire la nouvelle valeur $x(n)$. Ceci s'apparente à un produit de convolution

Ecriture mathématique :

Le filtre est décrit pas l'équation : $y(n)=a_0x(n) + a_1x(n-1) + a_2x(n-2)$

Nous avons vu qu'un délai te est représenté mathématiquement par z^{-1}

$$x(n-1)=x(n) \cdot z^{-1}$$

$$x(n-2)=x(n) \cdot z^{-1} \cdot z^{-1} \\ =x(n) \cdot z^{-2}$$

$$H(n) = \frac{y(n)}{x(n)} = a_0 + a_1z^{-1} + a_2z^{-2}$$

Ces filtres possèdent une phase linéaire, (la sortie ne dépend que des échantillons en entrée) mais le calcul de la sortie s'effectue sur un plus grand nombre d'échantillons que les FIR donc le temps de calcul est plus long.

Pratiquement un microcontrôleur 8 bits RISC avec un quartz 16MHz effectue une opération du type $y_0= ax_0+bx_1+cx_2+dx_3+ex_4+fx_5+gx_6+hx_7+ix_8+jx_9$ en environ 50 uS, La fréquence d'échantillonnage ne peut donc excéder 20KHz, et les fréquences filtrables 10KHz

1.6. Les filtres numériques à réponse impulsionnelle infinie (IIR)

Ces filtres sont récursifs, le calcul de $y(n)$ dépend des $x(n-m)$ et des $y(n-k)$, ces filtres sont donc instables et présentent une phase non linéaire et parfois très « bizarre ».

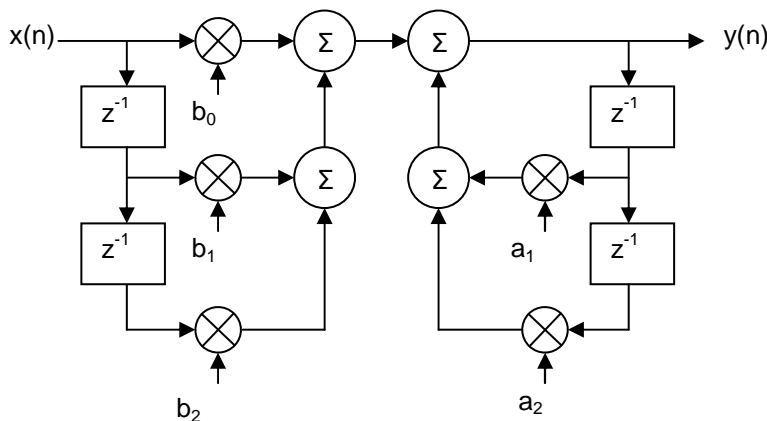
Ils sont caractérisés par une équation de ce type (appelée BIQUAD représentant un filtre du deuxième ordre) :

$$\frac{y(n)}{x(n)} = \frac{b_0 + b_1z^{-1} + b_2z^{-2}}{1 - a_1z^{-1} - a_2z^{-2}}$$

on en déduit que:

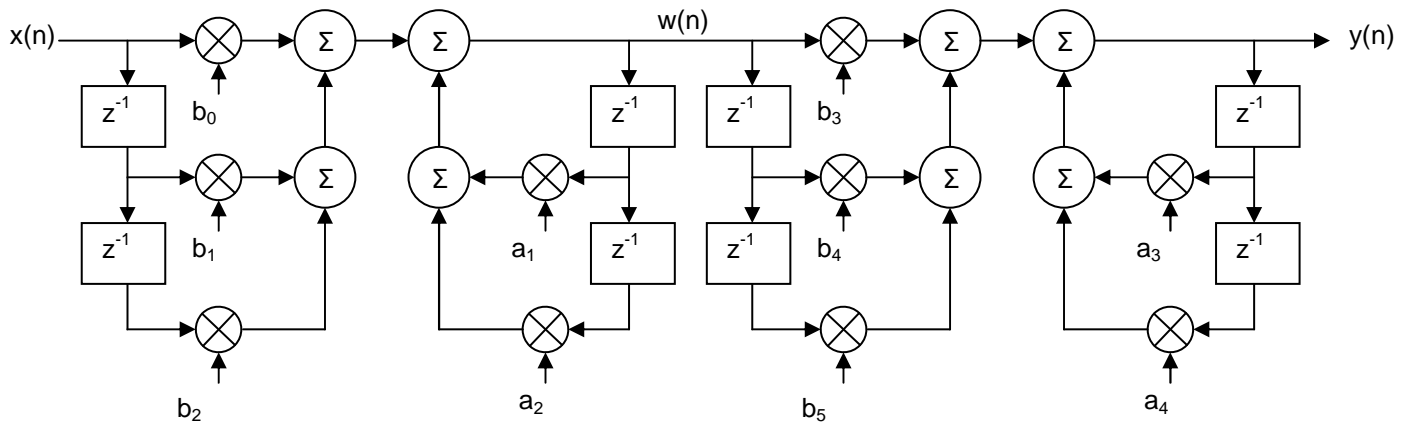
$$y[n] = a_0*x[n] + a_1*x[n-1] + a_2*x[n-2] -b_1*y[n-1] - b_2*y[n-2]$$

Représentation graphique d'un filtre d'ordre 2.





Pour obtenir un ordre 4 il suffit de cascader les cellules BIQUAD.



Rq : Il existe de nombreuses autres méthodes pour décrire les filtres IIR.

1.7. FIR vs IIR

Le choix entre un filtre FIR et IIR dépend

- Des performances recherchées
- De l'application
- De la vitesse du processeur
- De la mémoire RAM disponible

	FIR	IIR
Phase	Généralement linéaire	Non linéaire
Stables	oui	Pas toujours
Mémoire	plus	Moins
Temps de calcul	plus	moins
Pente (même nombre de coefficients)	moins	plus



1.8. Synthèse des filtres numériques

Il existe heureusement de nombreux logiciels permettant la synthèse des filtres FIR et IIR qui éviteront aux concepteurs de long et fastidieux calculs. La société SYSTOLIX (<http://www.systolix.co.uk/>) propose des outils logiciels commerciaux pour le traitement de signal, en particulier pour ANALOG DEVICE. Elle propose également le logiciel FILTER EXPRESS qui est un FREEWARE permettant la synthèse générale des filtres FIR et IIR. Après téléchargement, une clé logicielle est nécessaire pour l'activer, cette clé est obtenue gratuitement par email.

1.8.1. Filtre FIR

Ici le filtre possède 9 coefficients a_n , présentés dans l'ordre a_0, a_1, \dots . Avec $F_e=1\text{KHz}$
La sortie du filtre est de la forme $y=a_0x_n+a_1x_{n-1}+a_2x_{n-2}+\dots$

Fréquence d'échantillonnage

FIR ou IIR

Procédé de définition

Type de fenêtre

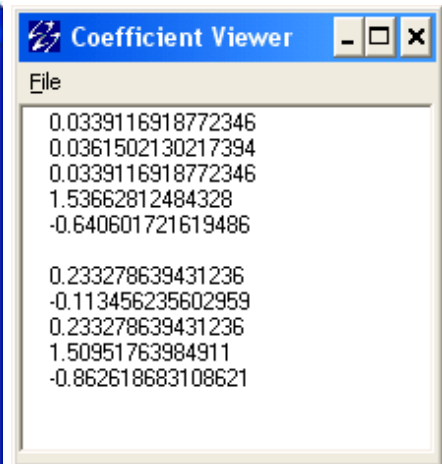
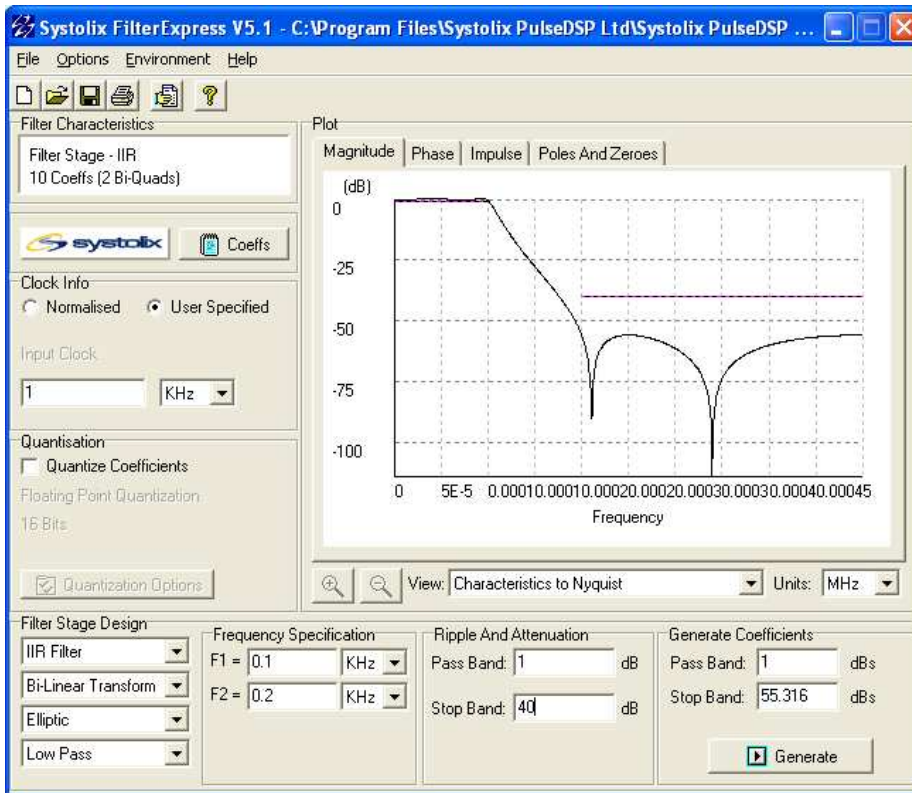
Type de filtre

Caractéristiques du filtre

Réponse impulsionnelle du filtre FIR



1.8.2. Filtre IIR



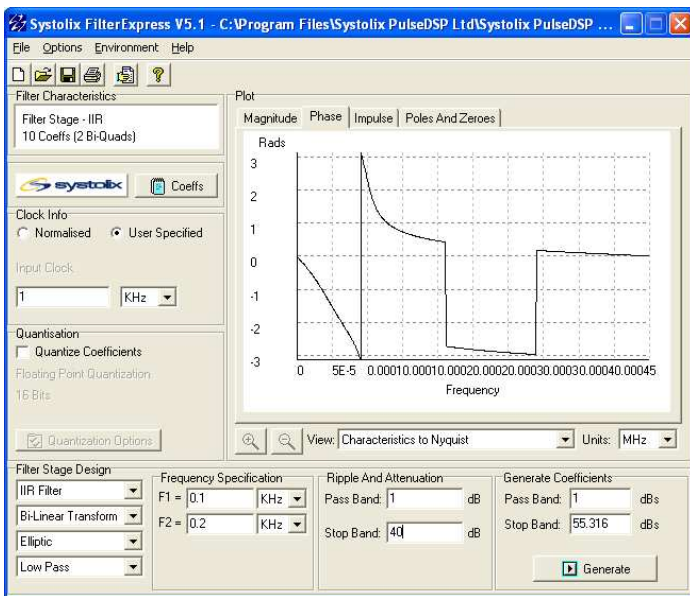
Ici le filtre possède 2 bi-quad avec 5 coefficients chacun
 Les 3 premiers représentent les b_n et les 2 derniers les a_n

$$\frac{y(n)}{x(n)} = \frac{b_0 + b_1z^{-1} + b_2z^{-2}}{1 - a_1z^{-1} - a_2z^{-2}}$$

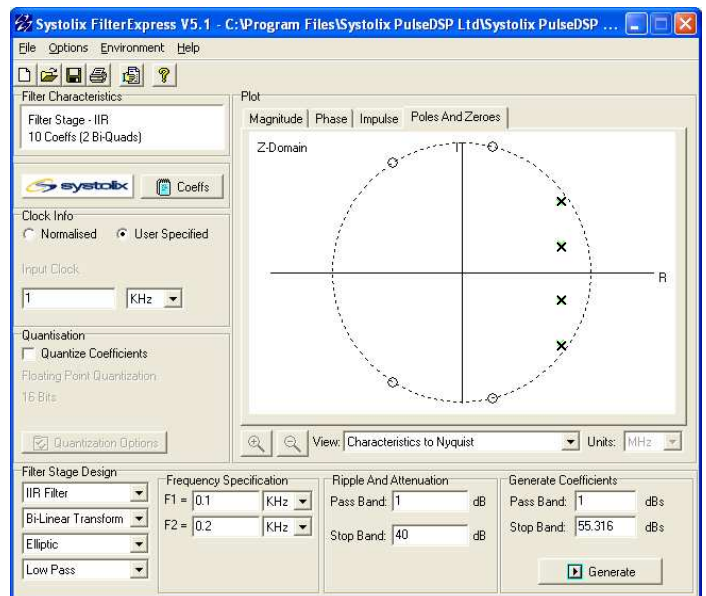
on en déduit que:

$$y[n] = a_0*x[n] + a_1*x[n-1] + a_2*x[n-2] - b_1*y[n-1] - b_2*y[n-2]$$

Phase :



Stabilité : pôles et zéros





1.8.3. Correcteur PID numérique

Après détermination des coefficients K_p , K_i , K_d par une méthode analogique classique (un excellent cours ici <http://hydro.marseille.free.fr/cours/ti.pdf>)

Approximation du correcteur PID par transformation bilinéaire

C'est la méthode la plus simple elle demande cependant pour être fiable une fréquence d'échantillonnage 4 à 5 fois supérieure à la fréquence de travail la plus élevée.

A partir de la loi de commande analogique

$$u(t) = K_p \varepsilon(t) + K_i \int \varepsilon(x) dx + K_d \frac{d\varepsilon(t)}{dt}$$

dont la fonction de transfert en p est

$$U(p) = K_p \cdot E(p) + K_i \cdot \frac{E(p)}{p} + K_d \cdot p \cdot E(p) \quad \text{qui donne} \quad H(p) = \frac{U(p)}{E(p)} = K_p + \frac{K_i}{p} + K_d \cdot p$$

La transformation bilinéaire consiste à remplacer p par
$$p = \frac{2}{te} \left(\frac{1 - z^{-1}}{1 + z^{-1}} \right)$$

$$\text{d'où} \quad H(z) = K_p + \frac{K_i \cdot te(1 + z^{-1})}{2 \cdot (1 - z^{-1})} + K_d \cdot \frac{2}{te} \left(\frac{1 - z^{-1}}{1 + z^{-1}} \right)$$

$x \cdot z^{-1}$ correspond à l'échantillon $x(n-1)$

après réduction on obtient $u(n) = a_0 e(n) + a_1 e(n-1) + a_2 e(n-2) + b_2 u(n-2)$
avec

$$a_0 = K_p + K_i \frac{te}{2} + K_d \cdot \frac{2}{te}$$

$$a_1 = K_i \cdot te - K_d \cdot \frac{4}{te}$$

$$a_2 = -K_p + K_i \frac{te}{2} + K_d \cdot \frac{2}{te}$$

$$b_2 = 1$$

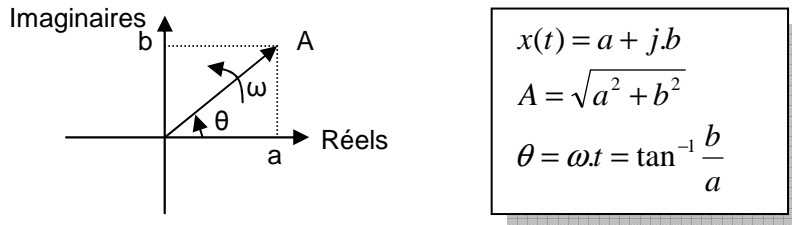
On voit qu'un correcteur PID numérique aura la même structure logicielle qu'un filtre récursif.



1.9. Transformée de Fourier discrète (DFT)

Un peu de maths (pas beaucoup)

On peut représenter une sinusoïde à l'aide d'un modèle complexe



On peut également représenter ce nombre complexe sous la forme polaire : $x(t) = A.e^{j(\omega.t)}$

Avec $e^{j(\omega.t)} = \cos(\omega.t) + j.\sin(\omega.t)$

On peut écrire de même

$e^{j\theta} = \cos \theta + j.\sin \theta$ et $e^{-j\theta} = \cos \theta - j.\sin \theta$

avec $\theta = \omega.t + \alpha$ ou $\theta = n.\omega.Te + \alpha$ dans le cas d'un signal échantillonné

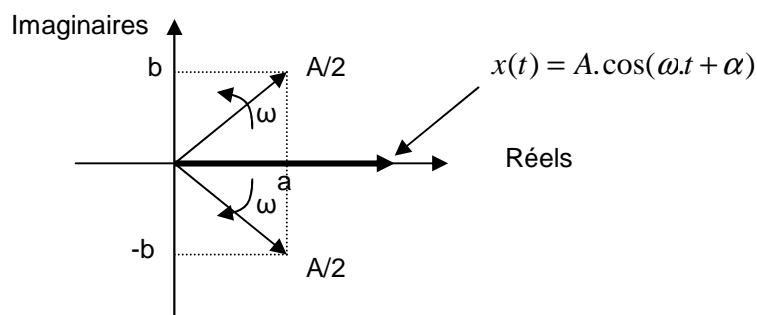
On en déduit

$$\cos \theta = \frac{e^{j\theta} + e^{-j\theta}}{2} \text{ et } \sin \theta = \frac{e^{j\theta} - e^{-j\theta}}{2j}$$

Cela montre qu'un signal sinusoïdal peut être décrit par la somme de deux vecteurs

$$x(t) = A.\cos(\omega.t + \alpha) = \frac{A}{2} \left(e^{j(\omega.t + \alpha)} + e^{-j(\omega.t + \alpha)} \right)$$

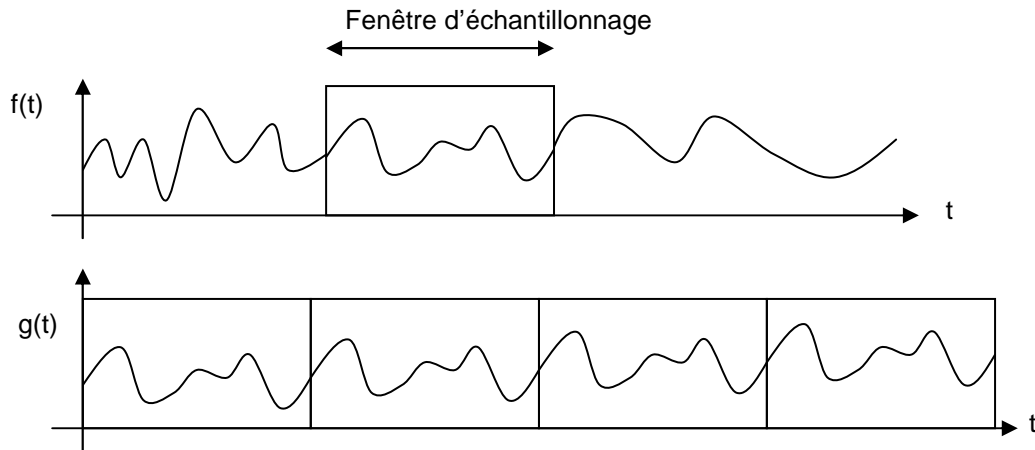
dont la représentation graphique est



Ces propriétés montrent que tout signal réel peut être représenté par la somme de deux nombres complexes conjugués. Ceci permet de mettre simplement en place l'approche mathématique de la transformée de Fourier discrète.



Après échantillonnage d'un signal, la FFT permet d'isoler certaines composantes spectrales de ce signal (une fenêtre). On connaîtra donc les harmoniques d'un signal fenêtré supposé périodique.



Après calcul de la FFT le spectre obtenu sera celui du signal g(t) et non f(t), il est donc évident comme dans le cas des filtres que la précision dépendra du nombre d'échantillons et du rapport f_e/f_m . (Fréquence d'échantillonnage / fréquence maximum du signal)

La décomposition en séries de Fourier d'un signal f(t) donne (on ne cherche pas ici à la démontrer)

$$x(t) = \sum_{k=-N}^N C_k e^{j(\omega_k t)} \quad \text{C représente les amplitudes et } \omega \text{ les pulsations}$$

Dans la réalité la plupart des signaux ne sont pas périodiques, la somme précédente devient une intégrale

$$x(t) = \frac{1}{2\pi} \int_{-\infty}^{+\infty} X(\omega) \cdot e^{j(\omega t)} \cdot d\omega \quad \text{X représente les amplitudes et } \omega \text{ les pulsations}$$

On peut déduire X(ω) de cette équation, on obtient la transformée de Fourier

$$X(\omega) = \int_{-\infty}^{+\infty} x(t) \cdot e^{j(-\omega t)} \cdot dt \quad \text{qui représente l'amplitude des raies du signal } x(t)$$

La décomposition en séries de Fourier discrète du signal échantillonné x(n) avec la période T_e donne

$$x(n) = \sum_{k=-N}^N C_k e^{j(k\omega_s T_s n)} \quad \text{Représentant les N composantes de } x(n)$$

On pratique de même avec le signal échantillonné et l'on obtient la transformée de Fourier discrète (Discrete Fourier Transform)

$$x(n) = \frac{1}{2\pi} \int_{-\pi}^{+\pi} X(\omega) \cdot e^{j(\omega T_s n)} \cdot d(\omega T_s) \quad \text{et} \quad X(\omega) = \sum_{n=-\infty}^{\infty} x(n) \cdot e^{j(-\omega T_s n)}$$

Ces deux équations forment les équations de référence de la transformée de Fourier discrète (DFT)

Considérations pratiques :

Dans la réalité l'échantillonnage n'est pas infini, et la somme des x(n) est donc fini, il y a un effet de fenêtre, une erreur est donc introduite ici.



Le spectre résultant du fenêtrage est donné par

$X_N(\omega) = X(\omega) * F(\omega)$ ou représente le produit de convolution du spectre de X par celui de la fenêtre F. Un produit de convolution est simple une somme de produit. On peut l'écrire comme cela

$$X_N(\omega) = \sum_{r=0}^{N-1} X(r) \cdot F(N-r)$$

Une fenêtre rectangulaire serait idéale, malheureusement elle est pratiquement impossible à construire, on a donc recours à des compromis. (Fenêtre de Haming par exemple)

Le spectre d'un signal échantillonné se répète avec une période ω_e et les raies sont espacées de δ . Si N représente le nombre d'échantillons de la fenêtre on a $\omega_e = N \cdot \delta$

Chaque raie peut donc s'écrire $X(k\delta) = X(\delta) = \sum_{n=0}^{N-1} x(n) \cdot e^{j(-k\delta T_s n)}$

On sait que $\omega_e = \frac{2\pi}{T_e}$ et $\delta = \frac{\omega_e}{N}$

On peut donc écrire $X_N(k) = \sum_{n=0}^{N-1} x(n) \cdot e^{-j(\frac{2\pi kn}{N})}$

Comme $e^{jx} = \cos(x) + j \sin(x)$ on a $X_N(k) = \sum_{n=0}^{N-1} x(n) \cdot \left[\cos\left(\frac{2\pi kn}{N}\right) + j \sin\left(\frac{2\pi kn}{N}\right) \right]$

Il est donc maintenant possible de calculer l'amplitude et la phase de chacune des raies composant le signal

On pose $W_N = e^{-j(\frac{2\pi}{N})}$ (constante)

Et l'on obtient finalement l'équation utile de la DFT

$$X_N(k) = \sum_{n=0}^{N-1} x(n) \cdot W_N^{kn}$$

Les W_N^{kn} sont une suite de nombres constants. La DFT n'est donc qu'une somme de produits.

La précision de l'analyse spectrale dépend de N, plus N sera grand et meilleur sera l'analyse (plus δ sera petit)

Plus N est grand et plus le calcul sera long, le nombre de multiplications complexes vaut N^2 .

L'algorithme de transformée de Fourier rapide (Fast Fourier Transform ou FFT) réduit considérablement le temps de calcul.

L'algorithme de FFT le plus connu est celui de Cooley-Tukey, également appelé algorithme de réduction à base 2 dans le domaine temporel. Cet algorithme requiert un nombre d'échantillons qui soit une puissance de 2. Par exemple : N=128, 256, 4096, etc. D'autres algorithmes FFT existent qui requièrent d'autres exigences. Dans le cas d'une FFT selon l'algorithme de Cooley-Tukey, le nombre

d'opérations est considérablement réduit : $\frac{N}{2} \log_2 N$ multiplications complexes

Cet algorithme est particulièrement bien décrit ici :

<http://www.eisi.ch/dem/Mediatheque/Telecom%20et%20traitement%20du%20signal/Cours/FFT.pdf>



1.10. Détection de fréquence, algorithme de Goetzel

On rappelle que l'expression de la DTF (Discret Fourier Transform) pour un signal $x(n)$ échantillonné à la fréquence F_e lorsque l'on considère N points de ce signal est donnée par

$$X_N(k) = \sum_{n=0}^{N-1} x(n) \cdot e^{-j\left(\frac{2\pi kn}{N}\right)}$$

Lorsque l'on ne désire connaître l'amplitude que d'une fréquence l'algorithme de Goetzel permet d'effectuer ce calcul de façon récursive.

On pose $W_N = e^{-j\left(\frac{2\pi}{N}\right)}$ et $W_N^{kN} = W_N^{-kN} = 1$ d'où $X_N(k) = \sum_{n=0}^{N-1} x(n) \cdot W_N^{-k(N-n)}$

On pose $Y_k(m) = \sum_{n=0}^m x(n) \cdot W_N^{-k(m-n)}$ et l'on obtient $X_N(k) = Y_k(N-1) \cdot W_N^{-k}$

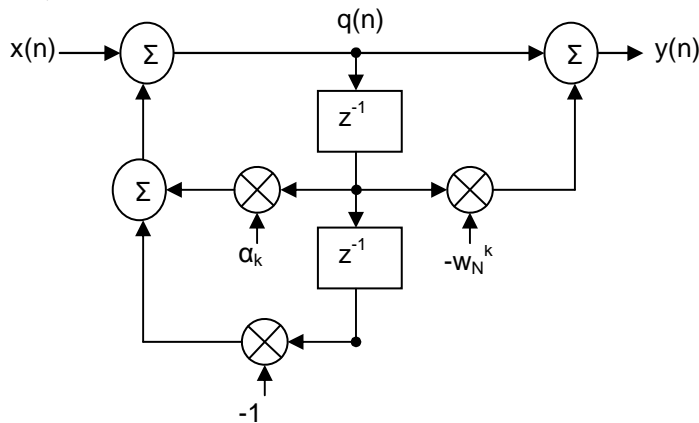
On obtient la relation $Y_k(m) = x(m) + Y_k(m-1) \cdot W_N^{-k}$ et $Y_k(0) = x(0)$

Cette relation est équivalente au filtre : $H(z) = \frac{1}{1 - W_N^{-k} \cdot z^{-1}} = \frac{1 - W_N^k \cdot z^{-1}}{1 - 2 \cos\left(\frac{2\pi k}{N}\right) \cdot z^{-1} + z^{-2}}$

Le module du pôle est égal à 1 mais comme le nombre de points considéré est fini, il n'y aura pas d'instabilité.

On pose $Y(z) = H(z)X(z) = D(z)N(z)X(z)$ avec $N(z) = 1 - W_N^k \cdot z^{-1}$

Et $D(z) = \frac{1}{1 - \alpha_k \cdot z^{-1} + z^{-2}}$ avec $\alpha_k = 2 \cos\left(\frac{2\pi k}{N}\right)$



L'algorithme de calcul de $q(n)$ est le suivant :

$$q(0) = x(0) \text{ puis } q(n) = x(n) + \alpha_k q(n-1) - q(n-2) \text{ pour } n=1 \text{ à } N-1$$

$X(k)$ est obtenu par

$$y(n) = q(n) - W_N^k q(n-1)$$

$$X(k) = y(N-1)$$

$$X(k) = (q(N-1) - W_N^k q(N-2)) W_N^{-k}$$

Pour connaître $X(k)$ il faudra donc attendre de connaître $q(N-1)$ et $q(N-2)$

$X(k)$ est un nombre complexe dont on désire connaître le module

$$|X(k)|^2 = |q(N-1) - W_N^k q(N-2)|^2$$

$$|X(k)|^2 = q(N-1)^2 + q(N-2)^2 - 2R(W_N^k q(N-2)q(N-1))$$

$$|X(k)|^2 = q(N-1)^2 + q(N-2)^2 - \alpha_k q(N-2)q(N-1)$$



2. La mise en œuvre des filtres numériques

2.1. Numérisation et représentations binaires

Les nombres utilisés par une ALU sont toujours entiers et finis.

Le traitement de signal impose des calculs (additions et multiplications) sur des nombres réels. D'où la nécessité de représenter les nombres signés ainsi que leur partie décimale.

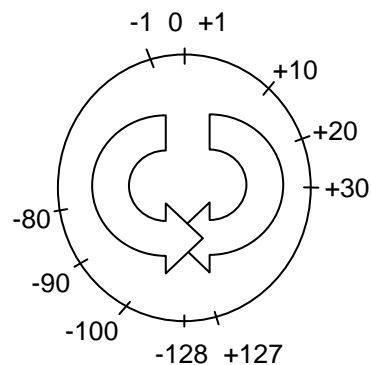
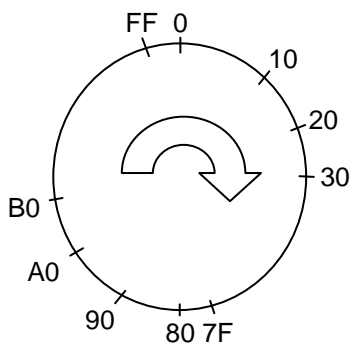
Représentation signée d'un nombre entier - codage binaire en complément à 2

Exemple de codage d'entiers positifs pour un octet

On voit ici que FF+1 donnera 00 avec une indication de retenue (généralement dans un bit appelé carry). Il y a débordement

Pour les entiers relatifs on voit que 0 - 1 donne FF, en binaire complément à 2, FF représente la valeur -1. FE représente -2 etc...

On peut alors représenter les nombres comme cela



Le débordement s'effectue maintenant par 127+1 qui donnera -128 ($7F+1 = 80$)

On remarque que le bit de poids fort représente maintenant le signe. 0 pour + et 1 pour -

Conversion binaire signé en binaire complément à 2

Pour inverser un nombre binaire en binaire signé, on complémente tous les bits puis l'on ajoute 1 au résultat

Ex : -5 (codage sur 8 bits)

+5	0000 0101
Complément	1111 1010
+1	1111 1011
-5	F B

Addition et soustraction en binaire complément à 2.

<p>-5 - 2 = -7 FB - 2 = F9</p> <p>FB 1111 1011 -2 0000 0010 F9 1111 1001</p>	<p>-5 + 11 = +6 FB + B = +6</p> <p>FB 1111 1011 +B 0000 1011 +6 1 0000 0110 (résultat sur 9 bits)</p> <p>(la retenue indique un passage par 0 et sera ignorée)</p>
--	--



Il s'agit maintenant de représenter la partie décimale d'un nombre réel.

Calcul en virgule fixe

Le calcul s'effectue en codage Q

On choisit (selon les besoins) un nombre de bits pour la partie entière et un nombre de bits pour la partie décimale. Les bits de la partie entière représentent les puissances de 2^n et ceux de la partie décimale les 2^{-n} . L'erreur absolue sur un réel représenté en virgule fixe est toujours inférieure à 2^{-m}

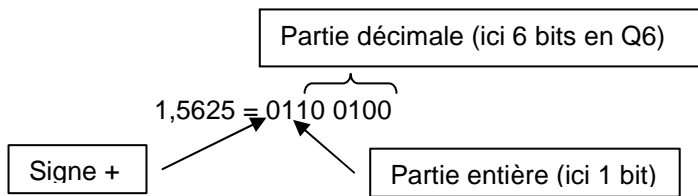
2^6	2^5	2^4	2^3	2^2	2^1	2^0	2^{-1}	2^{-2}	2^{-3}	2^{-4}	2^{-5}	2^{-6}	2^{-7}	2^{-8}		
256	128	64	32	16	8	4	2	1	0.5	0.25	0.125	0.0625	0.03125	0.015625	0.0078125	0.00390625

Exemple : codage de la valeur 1,5625 sur un octet positif en Q6

6 chiffres binaires décimaux

1 chiffre binaire pour la partie entière (0 ou 1 donc)

le poids fort représente le signe (0 pour +, 1 pour -)



$$= 1 \cdot 2^0 + 1 \cdot 2^{-1} + 0 \cdot 2^{-2} + 0 \cdot 2^{-3} + 1 \cdot 2^{-4} + 0 \cdot 2^{-5} + 0 \cdot 2^{-6} = 1 + 0.5 + 0.0625 = 1.5625$$

-1,5625 = 11011100 en complément à 2

Le complément à 2 de la partie entière 01 donne 11

Le complément à 2 de la partie décimale 100100 donne 011100

Addition de nombres codés en Qn

Comme en décimal, il faut prendre soin d'aligner les 2^n correspondant avant addition, ce qui revient à affecter des décalages à gauche (ajouter des 0) sur le nombre codé avec le plus petit Qn

117,0000 (codé en Q0)	0111 0101,000000 (codé en Q6)
+ 1,5625 (codé en Q4)	+ 01,10 0100 (codé en Q6)
-----	-----
118,5625 (codé en Q4)	01110110,100100 (résultat en Q6)
	118 , 5625

14,7500 (codé en Q4)	01110,11 0000 (codé en Q6)
+ 1,5625 (codé en Q4)	+ 01,10 0100 (codé en Q6)
-----	-----
16,3125 (codé en Q4)	0 0010 00,01 0100 (résultat en Q6)
	16 , 3125

Les nombres négatifs doivent être codés en binaire complément à 2

Ex : -14,75

+14 = 1110 donc -14 = 10010

75 codé décimal donne 1100 donc -75 codé décimal donne 0100

- 14,7500 (codé en Q4)	10010,01 0000 (codé en Q6 complément à 2)
+ 1,5625 (codé en Q4)	+ 01,10 0100 (codé en Q6)
-----	-----
-13,1875 (codé en Q4)	100 11,11 0100 (résultat en Q6 complément à 2)
	-13 , 1875

(Conversion de la partie décimale /110100 = 001011 plus 1 soit 001100 soit $2^{-3} + 2^{-4} = 0.1875$)

Dans une somme, les deux nombres doivent être codés suivant le même Qn



Multiplication de nombres codés en Qn

117,0 (codé en Q0)	0111 0101,0 (codé en Q0)
x1,5625 (codé en Q4)	x01,10 0100 (codé en Q6)
-----	-----
182.8125 (codé en Q4)	0010 1101 10,11 0100 (résultat sur 16 bits en Q6)
	182 , 8125
14,75 (codé en Q2)	01110,110 (codé en Q3)
x1,5625 (codé en Q4)	x 01,10 0100 (codé en Q6)
-----	-----
23.046875 (codé en Q6)	0010 111,0 0001 1000
	23 , 046875 (résultat sur 16 bits en Q9)

Dans un produit de deux nombres codés en Qa et Qb, le résultat est codé en Q(a+b)
 Un calcul en codage Q donne un résultat en codage Qn. Pour récupérer la partie entière d'un résultat on peut simplement effectuer n décalage à droite du résultat.

Calcul en virgule flottante

Ce type de codage est très performant car il permet de coder les nombres réels sur une très grande plage numérique avec un format binaire constant. Il demande en revanche une manipulation binaire plus complexe pour les additions et les multiplications et généralement utilisé par les langages évolués comme le C.

$$r = S_m.M.10^{S_e.E}$$

- r : réel à coder
- S_m : signe de la matrice (0 = positif, 1 = négatif)
- M : matrice
- S_e : signe de l'exposant
- E : exposant

Un nombre réel codé en virgule flottante a cet aspect :

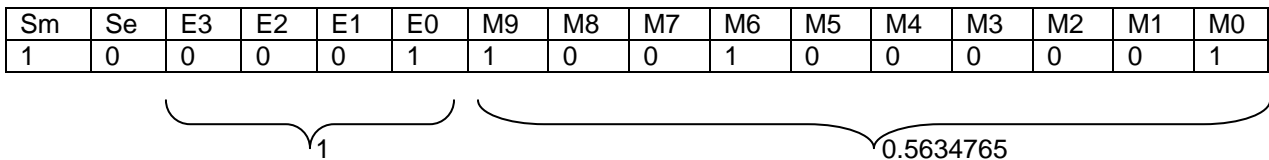


Nb bits	Exposant N	Mantisse M
16	4	10
32	8	22
64	14	48

16, 32, 64 ou 128 bits suivant les processeurs et les compilateurs

La mantisse représente les chiffres significatifs d'un réel inférieur à 0 codé en 2⁻ⁿ
 Par exemple 245,36 a une mantisse égale à +24536 et un exposant égale à +3 : 245,36=0.24536.10³

Exemple de codage en virgule flottante :
 -5,635 = -0,5635.10¹ et 2⁻¹+2⁻⁴+2⁻¹⁰=0.5634765





2.2. Mise en œuvre des filtres FIR et IIR

Il s'agit de programmer une équation de la forme

$Y[n] = a_0.X_n + a_1.X_{n-1} + a_2.X_{n-2} + \dots$ Pour les filtres FIR ou

$y[n] = a_0.X_n + a_1.X_{n-1} + a_2.X_{n-2} - b_1.Y_{n-1} - b_2.Y_{n-2}$ pour chaque BI-QUAD des filtres IIR

Les coefficients a_n et b_n sont des nombres réels positifs ou négatifs, les échantillons x_{n-x} sont des nombres entiers non signés

En C les opérations sur les nombres réels ne posent pas de problème. Cependant les temps de calcul sont beaucoup plus longs que sur les nombres entiers. Sur un uC PIC18 de Microchip une multiplication 8x8 non signé dure un cycle d'horloge alors qu'il faut compter une centaine de cycle pour une multiplication entre deux nombres réels.

Exemple en langage C de filtre FIR : application sur 68HC11 sur Control Boy F1

(<http://www.controlord.fr>)

```
/*Filtre Numérique FIR passe bas
/* OC3 le cadence */
/* CD 12/2000 */
//y0=ax0+bx1+cx2+dx3+ex4+fx5+gx6+hx7+ix8+jx9
#include <hc11.h> /*déclaration des bibliotheques*/
#include <lycee.h> /* pour analogin et analogout
#define tech 22222u /* échantillonnage pour 180Hz (5.55ms) sur CBOYF1 16MHz*/
#define a -0.0385324
#define b 0.0762931
#define c 0.0347435
#define d 0.3035086
#define e 0.4541574
#define f 0.3035086
#define g 0.0347435
#define h -0.0762931
#define i -0.0385324
#define j 0.0

float x0,x1,x2,x2,x3,x4,x5,x6,x7,x8,x9,y0;

#pragma interrupt_handler oc2Int /*déclaration de l'IT d'oc5*/
void oc2Int(void) /*routine d'interruption*/
{
// PORTA=1;
x9=x8;
x8=x7;
x7=x6;
x6=x5;
x5=x4;
x4=x3;
x3=x2;
x2=x1;

x0=0.0196*((float)(analogin(7)));
// durée de calcul : environ 4.7 mS avec Q=16MHz
y0=a*x0+b*x1+c*x2+d*x3+e*x4+f*x5+g*x6+h*x7+i*x8+j*x9;
x1=x0;
analogout(1,(int)(51.0*y0));
TOC2 +=tech;
TFLG1 |= 0x40;
// PORTA=0;
}

#pragma abs_address:0xFFE6 /*routine d'IT , vecteur RESET*/
void (*oc2int_vector)(void) = oc2Int ; /*adresse de oc5Int en FFEO*/
#pragma end_abs_address

void main(void) /*programme principal*/
{
OPTION|=0x80; //active CAN
TMSK1 |=0x40; /*IT de oc2 activée */
TCTL1 &=0x3f; /*aucune action définie sur le port A*/
DDRA=1;
asm(" cli "); /*autoriser les interruptions*/
while(1);
}
```



Réalisation d'un filtre FIR avec des coefficients signés sur 8 bits.

Les nombres réels ne seront généralement pas utilisés dans les algorithmes de filtres numériques, on préférera utiliser des nombres entiers qui permettront une vitesse de calcul bien plus élevée.

Le filtre obtenu n'aura bien évidemment pas exactement les mêmes caractéristiques que celui recherché.

1) les coefficients doivent être convertis en nombres entiers signés.

Les coefficients réels sont toujours inférieurs à 1. Ils représentent un pourcentage de l'échantillon considéré.

Voici un exemple de coefficients obtenus avec FILTER EXPRESS

$a_0 = -2.86850137377919E-18$
 $a_1 = -0.0424544340703416$
 $a_2 = 1.33428823991158E-17$
 $a_3 = 0.289437463459712$
 $a_4 = 0.497334282966218$
 $a_5 = 0.289437463459712$
 $a_6 = 1.33428823991158E-17$
 $a_7 = -0.0424544340703416$
 $a_8 = -2.86850137377919E-18$

Les coefficients a_0, a_2, a_6 et a_8 peuvent être considérés comme nuls

$a_1 = a_7$ et $a_3 = a_5$

On fait correspondre le plus grand coefficient à 0x7F (127) les autres sont calculés par rapport à celui-ci (en complément à 2).

$a_8 = 127$

$a_3/a_4 = 0.289/0.497 = 0.58$

$a_8 = 127 \times 0.58 = 73.68 \Rightarrow 74 = 0x4A$

$a_1/a_4 = -0.042/0.497 = -0.084$

$a_8 = 127 \times -0.084 = -10,7 \Rightarrow -11 = 0xF5$

2) On calcule $y_1[n]$ en ajoutant 128 à chaque coefficient ce qui revient à les rendre non signé. On peut alors utiliser les instructions de multiplication matérielle intégrées dans les uC (PIC, AVR ou HC08)

$$y_1[n] = x[n] \cdot (a_0 + 128) + x[n-1] \cdot (a_1 + 128) + x[n-2] \cdot (a_2 + 128) + \dots + x[n-N+1] \cdot (a_{N-1} + 128)$$

Ici

$$y_1[n] = x[n-1] \cdot (0xF5 + 128) + x[n-3] \cdot (0x4A + 128) + x[n-4] \cdot (127 + 128) + x[n-5] \cdot (0x4A + 128) + x[n-7] \cdot (0xF5 + 128)$$

$$y_1[n] = x[n-1] \cdot (0x75) + x[n-3] \cdot (0xCA) + x[n-4] \cdot (0xFF) + x[n-5] \cdot (0xCA) + x[n-7] \cdot (0x75)$$

Ainsi que $X[n] = x[n] \cdot 128 + x[n-1] \cdot 128 + \dots + x[n-N+1] \cdot 128$,

$X[n]$ représente les n échantillons multipliés par 128.

Il n'y a plus qu'à calculer $y[n] = y_1[n] - X[n]$

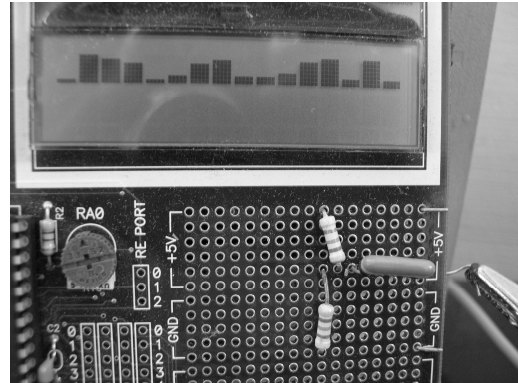
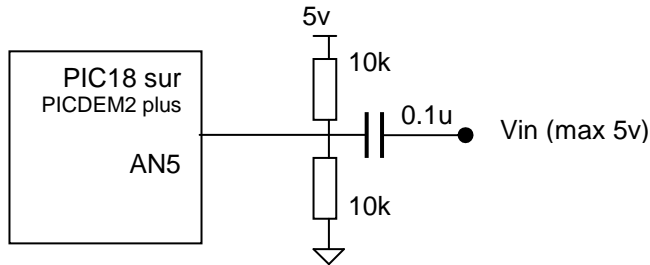
Microchip propose dans son document AN852

(<http://www.microchip.com/1010/suppdoc/appnote/all/an852/>) des exemples de bibliothèques écrites en assembleur en calcul sur 8bits pour les filtres FIR et IIR



2.3. Mise en oeuvre de la FFT

Exemple sur Microchip PICDEM2+ avec PIC18F452



Le PIC18 est un processeur RISC standard, possédant une multiplication non signée câblée, il est cependant adapté au traitement signal.

Le spectre d'un signal échantillonné est donnée par :

$$X(F) = \sum_{n=1}^{n=N} \sqrt{X(n) \otimes \sin(2\pi nF / N)^2 + X(n) \otimes \cos(2\pi nF / N)^2}$$

N : nombre d'échantillons

F : numéro de la raie

Fréquences des raies : $F_r = F_x \cdot F_e / N$

Exemple : pour une fréquence d'échantillonnage de 5Kz avec 32 échantillons :

$$F_r = F * (5,000 / 32) = F * 156.25 \text{ Hz}$$

$$F_1 = 156.25 \text{ Hz} \quad F_5 = 781.25 \text{ Hz} \quad F_9 = 1406.25 \text{ Hz} \quad F_{13} = 2031.25 \text{ Hz}$$

$$F_2 = 312.5 \text{ Hz} \quad F_6 = 937.5 \text{ Hz} \quad F_{10} = 1562.5 \text{ Hz} \quad F_{14} = 2187.5 \text{ Hz}$$

$$F_3 = 468.75 \text{ Hz} \quad F_7 = 1093.75 \text{ Hz} \quad F_{11} = 1718.75 \text{ Hz} \quad F_{15} = 2343.75 \text{ Hz}$$

$$F_4 = 625 \text{ Hz} \quad F_8 = 1250 \text{ Hz} \quad F_{12} = 1875 \text{ Hz} \quad F_{16} = 2500 \text{ Hz}$$

Mise en oeuvre d'une DFT avec les fonctions de la bibliothèque dft.asm

Après saisie des 32 échantillons, on calcule la partie réelle de chaque raie (indice bincount) (rappel : seules les 16 premières raies ont un sens physique) on calcul donc pour bincount de 1 à 16.

$$Qbin[bincount] = \sum_{n=1}^{n=32} INBUFFER[n] \otimes table[\text{mod}_{32}(8 + N \cdot bincount)]$$

On peut faire de même pour la partie imaginaire

$$Ibin[bincount] = \sum_{n=1}^{n=32} INBUFFER[n] \otimes table[\text{mod}_{32}(N \cdot bincount)]$$

Pour les deux calculs on a (16) raies de fréquences * (32) échantillons = (512) 24-bit opérations MAC (multiply and addition)

INBUFFER[32] : buffer d'échantillons sur 8 bits

FTABLE[32] : Table de sinus signée, le cosinus provient d'une lecture décalée de cette table soit 90 degrés ou 8 échantillons.

IBIN[16] : résultats de la partie imaginaire sur 24-bit

QBIN[16] : résultats de la partie réelle sur 24-bit

magnitude[16] : résultat sur 32 bits de $IBIN^2 + QBIN^2$

Algorithme du programme FFTpd2.C (utilise la bibliothèque dft.asm)

- Saisie de 32 échantillons
- Appelle de la fonction dft() qui effectue un produit de convolution entre INBUFFER[32] et FTABLE[32] pour calculer IBIN[16] et QBIN[16]
- Calcul de $magnitude[F] = (\text{unsigned long})(IBIN[F] \gg 8)^2 + (\text{unsigned long})(QBIN[F] \gg 8)^2$ (mise à l'échelle sur 16 bits)
- Affichage



DFT.asm

```

;* Discrete Fourier Transform (dft.asm) MICROCHIP
;* - init_sine_table places 8-bit signed 32-sample sine wave into FTABLE[32]
;* - Time domain input samples stored in INBUFFER[32]
;* - dft correlates FTABLE against INBUFFER to create IBIN and QBIN results
;* - (16) 24-bit Imaginary and Real frequency bin results stored in IBIN and QBIN

#include p18f452.inc

;FTABLE size=32 bytes (32) 8-bit sine table
;IBIN size=48 bytes (16) 24-bit Real frequency sum bins
;QBIN size=48 bytes (16) 24-bit Imaginary frequency sum bins
;INBUFFER size=32 bytes (32) 8-bit samples
;BINCOUNT size=1 byte Bin counter variable
;MSB_TEMP size=1 byte MSB of bin counter for 2's complement calculations

extern FTABLE,IBIN,QBIN,INBUFFER,BINCOUNT,MSB_TEMP
global dft,init_sine_table

ERRORLEVEL -315 ; Turn off LFSR assembler warnings, LFSR works on PIC18FXXX devices
ERRORLEVEL -314

code

dft
banksel BINCOUNT
lfsr 0,FTABLE ; FSR0 points to the start of sine frequency table
lfsr 1,INBUFFER ; FSR1 points to the start of the input sample buffer
lfsr 2,IBIN ; FSR2 points to the Real frequency sum bin
clrf BINCOUNT ; Point to first I-Bin table entry
call loop_bin ; Perform I-bin Multiply and Accumulate operation
lfsr 0,FTABLE+8 ; FSR0 points to the start of cosine frequency table
lfsr 1,INBUFFER ; FSR1 points to the start of the input sample buffer
lfsr 2,QBIN ; FSR2 points to the imaginary frequency sum bin
clrf BINCOUNT ; Point to first Q-bin table entry
call loop_bin ; Perform Q-bin Multiply and Accumulate operations
call abs_bin ; Now convert magnitude from 2's complement to unsigned
return

correlation macro
local add_negative
local add_positive
clrf MSB_TEMP ; Clear MSB of MAC result
movf INDF0,W ; Move next input sample waveform value to W register
mulwf POSTINC1 ; Multiply input sample by correlated frequency wave value
btss FSR0L,4 ; Skip if correlated waveform is negative
bra add_positive ; Correlated waveform is positive so don't take 2's complement
add_negative
comf PRODL,F ; Convert result to negative 2's complement number
comf PRODH,F ; Invert product result and temporary 24-bit MSB register
comf MSB_TEMP ;
; movlw 1 ; Officially, we should add one after complementing
; addwf PRODL,F ; but this simply result in a offset of 16 that will show up in all bins
; clrw
; addwfc PRODH,F
; addwfc MSB_TEMP,F
add_positive
movf PRODL,W ; Add product low to I or Q bin LSB, point to next byte in bin
;
addwf POSTINC2,F
movf PRODH,W ; Add product high to I or Q bin MSB, point to next byte in bin
addwfc POSTINC2,F
movf MSB_TEMP,W ; Move MSB into W register to add carry from product high I or Q bin result to MSB byte

of bin
addwfc POSTDEC2,F
movf POSTDEC2,F ; Decrement I or Q pointers to reset them to beginning of this bin
incf BINCOUNT,W ; Skip to next sine / cosine input value
addwf FSR0L,W
andlw 0x1F ; Module sine / cosine correlation table by 32
movwf FSR0L
endm

loop_bin
clrf MSB_TEMP ; Clear MSB of MAC result
bcf FSR1L,5 ; Modulo 32 the input sample waveform pointer
movf INDF0,W ; Place sine table value into W register
mulwf POSTINC1 ; Multiply sample by sine table, place result into PROD register
btss FSR0L,4 ; Skip if correlated waveform is negative
bra add_positive ; Correlated waveform is positive so don't take 2's complement
add_negative
comf PRODL,F ; Convert result to negative 2's complement number
comf PRODH,F ; First invert the product result
comf MSB_TEMP ; Now add 1 to the inverted result...
; movlw 1 ; Officially, we should add one after complimenting to it...
; addwf PRODL,F ; but this simply result in a offset of 16 that will show up in all bins
; clrw
; addwfc PRODH,F

```



Traitement de signal sur µcontrôleur

```

; addwfc MSB_TEMP,F
add_positive
movff PRODL,POSTINC2 ; Initialize bin with the first correlation results
movff PRODH,POSTINC2
movff MSB_TEMP,POSTDEC2
movf POSTDEC2 ; Reset pointer to LSB of current bin
incf BINCOUNT,W ; Point to next entry in frequency sine wave frequency
addwf FSR0L,W
andlw 0x1F ; Modulo-32 in sine frequency table
movwf FSR0L

correlate
local i
i = .31
while (i > 0)
correlation ; Perform correlation macro (24-bit) sum FTABLE * INBUFFER (31) more
times
i--
endw
incf BINCOUNT,F ; Point to next bin and sine wave frequency
btfsc BINCOUNT,4 ; Skip when if we have not finished the last bin
return ; done with all bins so return
movlw 0x3 ; Advance I or Q pointer to next bin by adding 3 locations
addwf FSR2L,F
bra loop_bin ; Not done with this bin so loop back

abs_bin ; Convert IBIN and QBIN results from 2's complement to absolute
magnatude
lfsr 0,IBIN+0x5F ; Point FSR0 to the MSB of the last value in IBIN
loop_abs
movlw IBIN-1 ; Place first IBIN entry (minus 1) into WREG for comparison
cpfseq FSR0L ; Skip if we are finished with IBIN and QBIN
bra check_negative ; Not done yet so check next value
return ; Return once we are finished
check_negative
btfss INDF0,7 ; Skip if this is a negative number
bra abs_positive ; Not negative, so we don't need to complement
abs_negative
comf POSTDEC0,F ; Negative number, so compliment it to make it positive
comf POSTDEC0,F
comf POSTDEC0,F
bra loop_abs
abs_positive
movf POSTDEC0,F ; Positive number, so move FSR0 (3) positions to point it to the next 24-bit
entry
movf POSTDEC0,F
movf POSTDEC0,F
bra loop_abs

init_sine_table ; Initializes FTABLE[32] with 2's complements sine table
lfsr 0,FTABLE ; Point to the start of the sin table in RAM
movlw upper sine_table ; Init MSB of table pointer to beginning of sine table
movwf TBLPTRU
movlw HIGH sine_table ; Init middle byte of table pointer to beginning of sine table
movwf TBLPTRH
movlw low sine_table ; Init LSB of table pointer to beginning of sine table
movwf TBLPTRL
movlw 0x20
movwf BINCOUNT ; Initialize BINCOUNT to 32 entries
loop_sine_lookup
tblrd*+ ; Read byte from sine lookup table, place in TABLAT
movff TABLAT,POSTINC0 ; Place sine look-up byte into next entry of RAM based sine table
decfsz BINCOUNT,F ; Decrement counter, skip when zero
bra loop_sine_lookup ; Not done initializing RAM table, loop back
return ; Done with last entry so return

sine_table ; 2's complement sine table
data 0x03200 ; Sample Numbers 0 and 1
data 0x08E62 ; Sample Numbers 2 and 3
data 0x0D4B4 ; Sample Numbers 4 and 5
data 0x0FAEC ; Sample Numbers 6 and 7
data 0x0FAFF ; Sample Numbers 8 and 9
data 0x0D4EC ; Sample Numbers 10 and 11
data 0x08EB4 ; Sample Numbers 12 and 13
data 0x03262 ; Sample Numbers 14 and 15
data 0x03200 ; Sample Numbers 16 and 17
data 0x08E62 ; Sample Numbers 18 and 19
data 0x0D4B4 ; Sample Numbers 20 and 21
data 0x0FAEC ; Sample Numbers 22 and 23
data 0x0FAFF ; Sample Numbers 24 and 25
data 0x0D4EC ; Sample Numbers 26 and 27
data 0x08EB4 ; Sample Numbers 28 and 29
data 0x03262 ; Sample Numbers 30 and 31

end

```



FFTp2.C

```
include <p18f452.h> // Defines all processor specific peripherals
#include <stdlib.h> // Defines standard function library
#include <lcdpd2.h>

// les deux fonctions suivantes sont dans dft.asm (à placer dans le projet)
extern void dft (void); // routines assembleur pour la DFT (utilise la multiplication HARD sur 8 bits)
extern void init_sine_table (void); // recopie la table de sinus en ram dans la ram

#pragma udata analyzer_vars=0x100 // Les variables C sont en Bank 1 (début en 0x100)
unsigned char start_dft;
unsigned long magnitude[16]; // (16) 32-bit I carré + Q carré (amplitudes de fréquences)

#pragma udata dft_vars=0x300 // Les variables assembleur pour la DFT sont en bank 3 en 0x300
unsigned char FTABLE[32]; // Table de sinus sur 8bits pour le calcul de convolution
unsigned short long IBIN[16]; // (16) 24-bit nombres imaginaires pour les fréquences
unsigned short long QBIN[16]; // (16) 24-bit nombres réels pour les fréquences
unsigned char INBUFFER[32]; // (32) tableau d'échantillons sur 8 bits
unsigned char BINCOUNT; // un compteur
unsigned char MSB_TEMP; // MSB 24-bit produit temporaire

#pragma interrupt echantillonnage save=PROD
void echantillonnage (void) // IT haute priorité provenant de TIMER tous les 2,000 cycles
{static char buffer_index=0; // soit 2000*0.25uS = 500ms sur PICDEM2+
  if (PIR1bits.TMR2IF){
    ADCON0bits.GO_DONE = 1; // SOC
    PIR1bits.TMR2IF = 0; // efface drapeau IT TMR2
    while(ADCON0bits.GO_DONE); // Attend EOC
    INBUFFER[buffer_index++] = ADRESH; // mémorise l'échantillon sur 8 bits
    if(buffer_index == 32){ buffer_index = 0;start_dft = 1;} // autorise le calcul, de la DFT
  }
}

#pragma code it_priorite_haute=0x8
void it_priorite_haute (void)
{ _asm GOTO echantillonnage _endasm }
#pragma code

void main (void)
{unsigned char tampon[17]; // pour putsLCD
 unsigned char result_index;
 unsigned long max_result,valeur; // pour la calcul du facteur d'échelle
 unsigned int echelle; // facteur d'échelle pour LCD
  OpenLcd();
  SetDisplay(DisplayOn, CursorOn, BlinkingOn);
  ADCON0 = 0b00100001; // ADC on, canal 4 sur RA4, CLK conversion = Fosc/2
  ADCON1 = 0b01000010; // justification à gauche , CLK/2 clock, AN0-AN4 entrées analogiques
  // (pb avec LCD qui utilise RA1 et RA2 (AN1 et AN2) !
  T2CON = 0b00001101; // active TMR2 prédiviseur = 4:1, postdiviseur = 2:1 (8 en tout)
  PR2 = 249; // période = 250 cycles
  // Soit sur PICDEM2+ une IT toutes les 8*250*0.25uS soit Fe= 2000Hz
  // Autorise IT sur TIMER2
  PIE1bits.TMR2IE = 1; // Haute priorité pour Timer 2
  IPR1 = 0b00000010; // Basse priorité pour le reste
  IPR2 = 0; // pas encore saisi les 32 échantillons
  start_dft = 0; // Active le mode IT hautes et basses (PIC18)
  RCONbits.IPEN = 1; // Initialise FTABLE[32] (recopie le tableau sinus de ROM en RAM)
  init_sine_table(); // Active les IT hautes et basses
  INTCON = 0b11000000; // attend que le buffer en entrée contienne 32 échantillons
  while(1){ if(start_dft)
    { start_dft = 0;
      INTCONbits.GIEH = 0; // désactive les IT hautes
      dft(); // calcul de la DFT
      result_index = 0;
      max_result = 0; //on ne calcul l'amplitudes que des transformées réelles (16 premières)
      for (result_index=0;result_index<16;result_index++)
        { magnitude[result_index] = (unsigned long)(IBIN[result_index]>>8) * (unsigned
long)(IBIN[result_index]>>8) + (unsigned long)(QBIN[result_index]>>8) * (unsigned long)(QBIN[result_index]>>8);
          if (magnitude[result_index] > max_result) max_result = magnitude[result_index];
        }
      echelle=max_result/6; // pour les 7 possibilités de caractères semi-graphiques sur LCD de PICDEM2+
      for (result_index=0;result_index<16;result_index++) // affichage
        { valeur = magnitude[result_index]/echelle;
          if (valeur<0) valeur=0;
          if (valeur>6) valeur=6;
          tampon[result_index]=128+valeur; // la barre en bas est le caractère 128
        }
      tampon[16]=0; // en C une chaîne doit finir par 0
      // Sur PICDEM2+ l'afficheur LCD utilise RA1,2,3 en mode numérique
      ADCON1=0b01000110; // tous les bits du portA repassent en numérique
      SetPosition(0,0);
      putsLCD(tampon);
      ADCON1=0b01000010; // réactive les entrées analogiques
      INTCONbits.GIEH = 1; // réactive les IT hautes priorités
    }
  }
}
```



2.4. Détection de fréquence : exemple sur PIC18

Sur PICDEM2+ le câblage sera le même que pour le TP sur DFT.

```
#include <p18f452.h>
#include <stdlib.h>
#include <lcdpd2.h>

#define nbcoef 32
const float ak=1.4142; //si FE=2000Hz, k=4, N=32 F(k)=250Hz //idem si k=8 et N=64 et si k=16 et N=128
float r; // le résultat sera rangé ici

#pragma udata echanti=0x100
unsigned char echantillon[nbcoef];
#pragma udata divers=0x300
unsigned char start_calcul;

#pragma interrupt echantillonnage save=PROD // IT haute priorité provenant de TIMER tous les 2,000 cycles
void echantillonnage (void) // la fonction echantillonne nbcoef et autorise la calcul
{static unsigned char cptech=0; // soit 2000*0.25uS = 500uS sur PICDEM2+
if (PIR1bits.TMR2IF)
    {
        ADCON0bits.GO_DONE = 1; // SOC
        PIR1bits.TMR2IF = 0; // efface drapeau IT TMR2
        while(ADCON0bits.GO_DONE); // Attend EOC
        echantillon[cptech]=ADRESH;
        if(++cptech == nbcoef) {start_calcul = 1; // autorise le calcul
                                cptech=0;
                                }
    }
}

#pragma code it_priorite_haute=0x8
void it_priorite_haute (void)
{ _asm GOTO echantillonnage _endasm }
#pragma code

float goertzel(void) // calcul de l'amplitude de la raie k par la méthode de Goertzel
{ float qn=0.0,qn1=0.0,qn2=0.0; // représente les q en z, z-1 et z-2
  float ech;
  unsigned char cpt;
  // recherche qN-1 et qN-2, la boucle s'effectue nbech fois
  for (cpt=0;cpt<nbcoef;cpt++)
  { ech=(float)(echantillon[cpt]); // le calcul s'effectue sur des réels
    if (cpt==0) {
        qn=ech;qn1=0,qn2=0;
        else
        {qn2=qn1;
          qn1=qn;
          qn=ech + ak*qn1 - qn2;
        }
    }
  }
  return (qn*qn+qn1*qn1-ak*qn*qn1); //Calcul de F(k)2
}

void main (void)
{unsigned tampon[17]; // pour putsLCD
  OpenLcd();
  SetDisplay(DisplayOn, CursorOn, BlinkingOn);
  ADCON0 = 0b00100001; // ADC on, canal 4 sur RA4, CLK conversion = Fosc/2
  ADCON1 = 0b01000010; // justification à gauche, CLK/2 clock, AN0-AN4 entrées analogiques
  // (pb avec LCD qui utilise RA1 et RA2 (AN1 et AN2) !
  T2CON = 0b00001101; // active TMR2 prédiviseur = 4:1, postdiviseur = 2:1 (8 en tout)
  PR2 = 249; // période = 250 cycles
  // Soit sur PICDEM2+ une IT toutes les 8*250*0.25uS soit Fe= 2000Hz
  PIE1bits.TMR2IE = 1; // Autorise IT sur TIMER2
  IPR1 = 0b00000010; // Haute priorité pour Timer 2
  IPR2 = 0; // Basse priorité pour le reste
  start_calcul = 0; // pas encore saisi les échantillons
  RCONbits.IPEN = 1; // Active le mode IT hautes et basses (PIC18)
  INTCON = 0b11000000; // Active les IT hautes et basses

  while(1){
    if(start_calcul) // attend que le buffer en entrée contienne N échantillons
    {
        start_calcul = 0;
        INTCONbits.GIEH = 0; // désactive les IT hautes
        r=goertzel(); // Module au carrée de la raie
        // Sur PICDEM2+ l'afficheur LCD utilise RA1,2,3 en mode numérique
        ADCON1=0b01000110; // tous les bits du portA repassent en numérique
        SetPosition(0,0);
        putsLCD(ftoa(r,tampon,4,'S'));
        putsLCD(" ");
        ADCON1=0b01000010; // réactive les entrées analogiques
        INTCONbits.GIEH = 1; // réactive les IT hautes priorités
    }
  }
}
```



A large, empty rectangular box with a thin black border, intended for drawing or writing.